

### DO-201AD

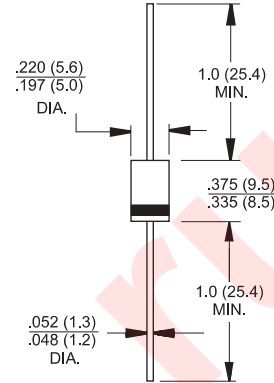


### Особенности

- ◆ 伊道業著書最速の性能を誇る超高速整流素子
- ◆ 伊道業著書最速の性能を誇る超高速整流素子
- ◆ 伊道業著書最速の性能を誇る超高速整流素子
- ◆ 伊道業著書最速の性能を誇る超高速整流素子
- ◆ 伊道業著書最速の性能を誇る超高速整流素子
- ◆ 伊道業著書最速の性能を誇る超高速整流素子
- ◆ 伊道業著書最速の性能を誇る超高速整流素子

### Механические данные

- ◆ Корпус: Литой пластиковый
- ◆ Пластиковые материалы соответствуют UL 94V-0
- ◆ Полярность: Полосой маркируется катод
- ◆ Высокая температура пайки, гарантированно: 260°C в течение 10 секунд
- ◆ Вес:  $\pm 10$  грамма



Размеры в дюймах и (миллиметрах).

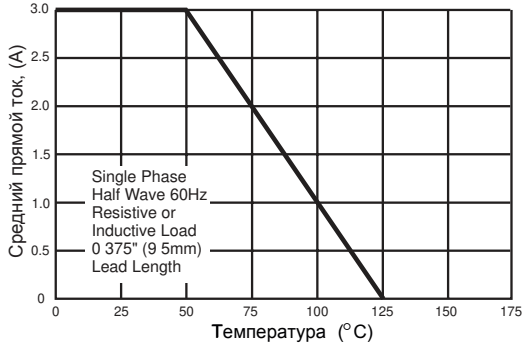
### Максимальные технические и электрические характеристики

Значения параметров при 25°C температуре окружающей среды, если не указано иное. Однофазный, напряжение (В) половина волны, частота – 60 Гц, для резистивных и индуктивных нагрузок. Для емкостной нагрузки уменьшайте ток на 20%.

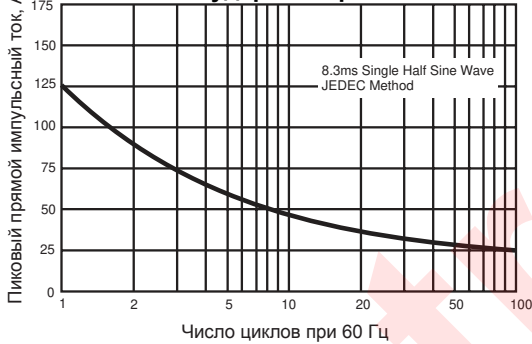
| Параметр  | Обозн.          | SF 31       | SF 32 | SF 33 | SF 34 | SF 35 | SF 36 | SF 37 | SF 38 | Ед.изм |
|---|-----------------|-------------|-------|-------|-------|-------|-------|-------|-------|--------|
| Пик повторяющегося импульсного обратного напряжения                               | $V_{RRM}$       | 50          | 100   | 150   | 200   | 300   | 400   | 500   | 600   | В      |
| Максимальное среднеквадратическое значение напряжения                             | $V_{RMS}$       | 35          | 70    | 105   | 140   | 210   | 280   | 350   | 420   | В      |
| Максимальное постоянное запирающее напряжение                                     | $V_{DC}$        | 50          | 100   | 150   | 200   | 300   | 400   | 500   | 600   | В      |
| Максимальный средний прямой выпрямленный ток                                      | $I_{(AV)}$      | 3.0         |       |       |       |       |       |       |       | А      |
| Максимальный прямой ток импульса в течении 8.3 мсек. (JEDEC метод)                | $I_{FSM}$       | 125         |       |       |       |       |       |       |       | А      |
| Максимальное падение напряжения на открытом диоде при прямом токе 3А              | $V_F$           | 0.95        |       |       | 1.3   |       | 1.7   |       |       | В      |
| Максимальный постоянный обратный ток при номинальном постоян. обратном напряжении | $I_R$           |             |       |       |       | 5.0   |       |       |       | мкА    |
|   |                 |             |       |       |       | 100   |       |       |       | мкА    |
| Типичное время обратного восстановления   | $T_{rr}$        |             |       |       |       | 35    |       |       |       | нсек   |
| Типичная емкость перехода (Прим. 1)   | $C_j$           | 80          |       |       | 70    |       |       |       |       | пФ     |
| Типичное тепловое сопротивление   | $R_{\theta JA}$ | 35          |       |       |       |       |       |       |       | °C /Вт |
| Диапазон рабочих температур   | $T_J$           | -65 to +125 |       |       |       |       |       |       |       | °C     |
| Диапазон температур хранения  | $T_{STG}$       | -65 to +150 |       |       |       |       |       |       |       | °C     |

Примечание: 1. Измеряется на частоте 1.0 МГц и обратном постоянном напряжении 4,0 В.  
2. Обратное восстановление, условия тестирования:  $I_F = 0.5A$ ,  $I_R = 1.0A$ ,  $IRR = 0.25A$ .

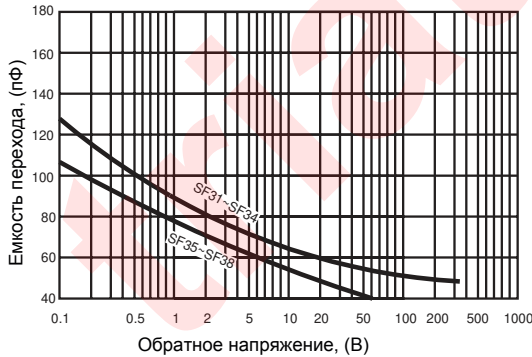
**Рис. 1** График снижения выходного тока



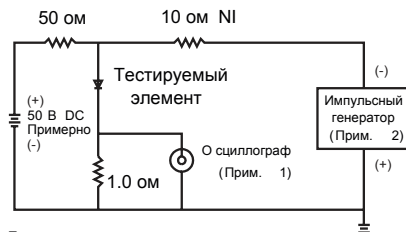
**Рис.3** - Максимальный неповторяющийся пиковый ударный прямой ток



**Рис. 4** - Типичная характеристика емкости перехода



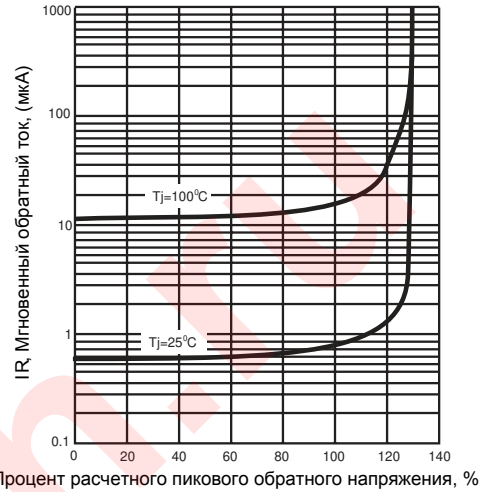
**Рис. 5** Характеристика обратного времени восстановления и испытательной схемы



Примечание :

1. Время нарастания  $\tau_r = 7.0$  нсек. макс. входное сопротивление = 1.0 М ом , 22 пФ .
2. Время нарастания  $\tau_{rr} = 10$  нсек. макс. входное сопротивление  $\neq 50$  ом .

**Рис. 2** - Типичные обратные характеристики



**Рис. 6** Типичная прямая характеристика

